

Aula 10 (23/Fev)

Na aula de hoje

- * Revisão de última aula.
- * Salto de potencial.
- * Formalismo matemático da TD.

—||—

Revisão de última aula

- * Potenciais 1D "quadrados" indep. do tempo.
- * Salto de potencial.

—||—

③.3 Potenciais 1D quadrados indep. do tempo

3.3.3) Exemplos de potenciais quadrados

3.3.3.1) Salto de Potencial $E > V$ (cont.):

É natural definir factor de transmissão, T , e factor de reflexão, R , como

$$\boxed{T \equiv \frac{I_t}{I_i}} = \frac{|A_1|^2 \frac{\cancel{k_2}}{2m} \left| \frac{2k_1}{k_1+k_2} \right|^2}{|A_1|^2 \frac{\cancel{k_1}}{2m}} = \frac{4k_1 \cdot k_2}{(k_1+k_2)^2}$$

$$\boxed{R \equiv \frac{I_r}{I_i}} = \frac{|A_1|^2 \frac{\cancel{k_1}}{2m} \left| \frac{k_1-k_2}{k_1+k_2} \right|^2}{|A_1|^2 \cdot \frac{\cancel{k_1}}{2m}} = \frac{(k_1-k_2)^2}{(k_1+k_2)^2}$$

que podemos interpretar como probabilidade de transmissão e reflexão pois

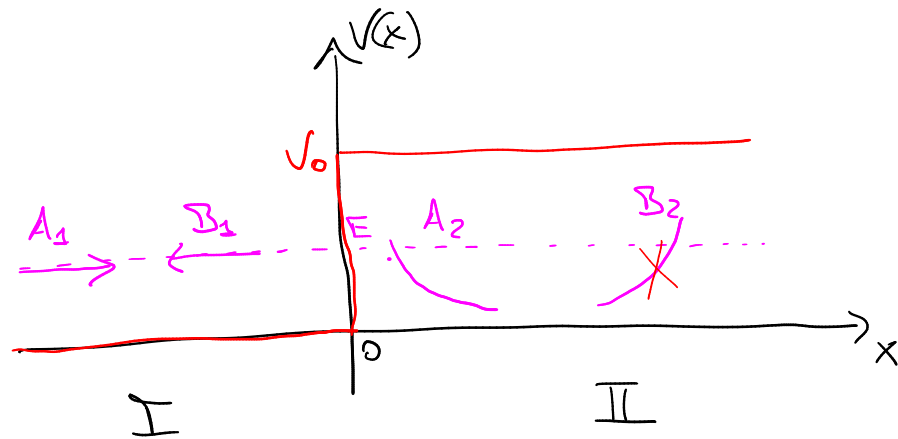
$$\begin{aligned} R+T &= \frac{k_1^2 - 2k_1k_2 + k_2^2}{(k_1+k_2)^2} + \frac{4k_1k_2}{(k_1+k_2)^2} \\ &= \frac{k_1^2 + 2k_1k_2 + k_2^2}{(k_1+k_2)^2} = \frac{(k_1+k_2)^2}{(k_1+k_2)^2} = 1 // \end{aligned}$$

Comentário: Ao contrário da Mecânica Clássica R pode ser maior do que zero, ou seja, a partícula pode ser refletida num problema quântico.

Nota: Em M. Clássica se $E > V$, partícula é (sempre) transmitida,



3.3.3.2) Solto de potencial com $E < V_0$



Soluções nas duas regiões

$$\begin{cases} \phi_1(x) = A_1 e^{i\kappa_1 x} + B_1 e^{-i\kappa_1 x} \\ \phi_2(x) = A_2 e^{-\kappa_2 x} + B_2 e^{\kappa_2 x} \end{cases}, \quad \kappa_1 = \frac{\sqrt{2mE}}{\hbar}, \quad \kappa_2 = \frac{\sqrt{2m(V_0 - E)}}{\hbar}$$

Faremos $B_2 = 0$, porque p.o. em II diverge quando $x \rightarrow \infty$, logo não faz sentido fisicamente.

Requeremos continuidade de p.o. e de sua derivada,

$$\begin{cases} \phi_1(0) = \phi_2(0) \\ \left. \frac{d\phi_1}{dx} \right|_{x=0} = \left. \frac{d\phi_2}{dx} \right|_{x=0} \end{cases} \Leftrightarrow \begin{cases} A_1 + B_1 = A_2 \\ i\kappa_1 (A_1 - B_1) = -\kappa_2 A_2 \end{cases} \quad \begin{matrix} \textcircled{1} \\ \textcircled{2} \end{matrix}$$

que podemos resolver como

$$\textcircled{1} \Rightarrow B_1 = A_2 - A_1$$

$$\textcircled{2} \Rightarrow A_1 - A_2 + A_1 = i \frac{\kappa_2}{\kappa_1} A_2 \quad (\Rightarrow) \quad A_2 \left(i \frac{\kappa_2}{\kappa_1} + 1 \right) = 2A_1$$

$$(\Rightarrow) A_2 = \frac{2\kappa_1}{\kappa_1 + i\kappa_2} \cdot A_1$$

$$\textcircled{1} \Rightarrow B_1 = \frac{2\kappa_1 - \kappa_1 - i\kappa_2}{\kappa_1 + i\kappa_2} A_1 = \frac{\kappa_1 - i\kappa_2}{\kappa_1 + i\kappa_2} A_1$$

Como a onda de amplitude A_2 é evanescente, não podemos atribuir-lhe uma intensidade. Teremos então intensidade apenas da onda incidente, I_i , e da onda refletida, I_r ,

$$I_i = |A_1|^2 \cdot \frac{\hbar \kappa_1}{2m}$$

$$I_r = |B_1|^2 \frac{\hbar \kappa_1}{2m} = |A_1|^2 \frac{\hbar \kappa_1}{2m} \cdot \left| \frac{\kappa_1 - i\kappa_2}{\kappa_1 + i\kappa_2} \right|^2$$

$$\begin{aligned} &= \left| \frac{(\kappa_1 - i\kappa_2)^2}{\kappa_1^2 + \kappa_2^2} \right|^2 = \left| \frac{\kappa_1^2 - \kappa_2^2 - 2i\kappa_1\kappa_2}{\kappa_1^2 + \kappa_2^2} \right|^2 \\ &= \frac{(\kappa_1^2 - \kappa_2^2)^2 + 4\kappa_1^2\kappa_2^2}{(\kappa_1^2 + \kappa_2^2)^2} = \frac{(\kappa_1^2 + \kappa_2^2)^2}{(\kappa_1^2 + \kappa_2^2)^2} = 1 \end{aligned}$$

Então a probabilidade de reflexão será

$$R = \frac{I_r}{I_i} = \frac{|A_1|^2 \frac{\hbar \kappa_1}{2m}}{|A_1|^2 \frac{\hbar \kappa_1}{2m}} = 1$$

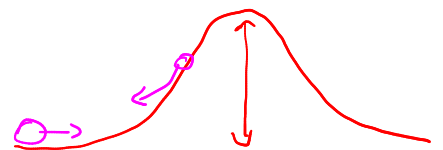
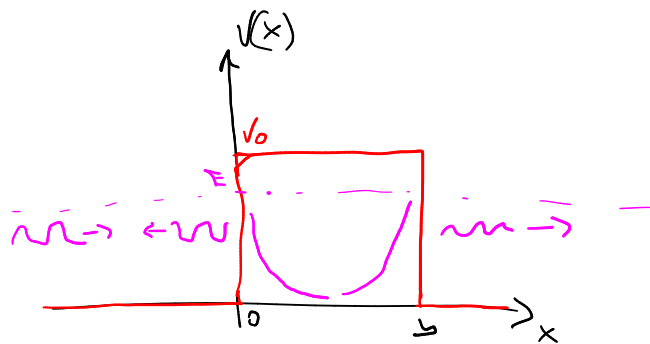
Comentário: Como em Π . Clássica a partícula é sempre refletida.

Comentário: Nas ao contrário Π . Clássica, a partícula pode ser encontrada na região Π (onde evanescente).

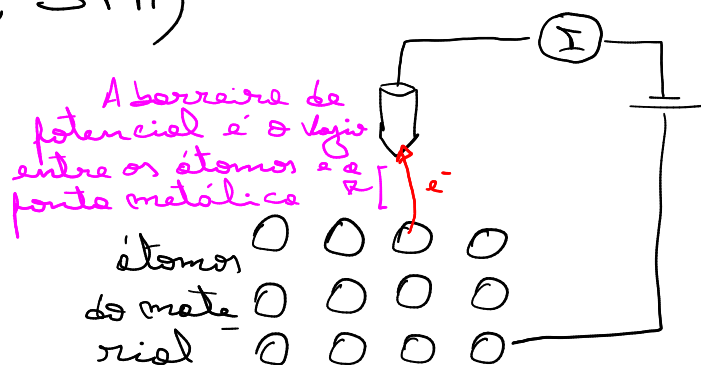
Comentário: Se tivermos uma barreira de comprimento finito, por exemplo, definida por

$$V(x) = \begin{cases} V_0 & , 0 < x < b, \\ 0 & , x < 0 \text{ e } x > b, \end{cases}$$

com $E < V_0$, teríamos que a partícula poderia tunelar através da barreira (mesmo isso não sendo possível classicamente), i.e. $T > 0$,



Este é o mecanismo básico por trás do microscópio efeito túnel (Scanning tunneling microscope, STM)



Comentário : Note que $\frac{B_1}{A_1} = \text{Re}[\dots] + i \text{Im}[\dots]$,
tem parte imaginária, ou se
je, podemos escrever B_1 como

$$B_1 = e^{i\varphi} \cdot A_1 ,$$

e assim a f.d. na região I
podrá ser escrita na forma

$$\phi_I(x) = A_1 \left(e^{i\kappa_1 x} + e^{-i(\kappa_1 x - \varphi)} \right) ,$$

que podemos interpretar como
diferença de fase da onda refle-
tida relativamente à onda
incidente, essencialmente
por este ter penetrado um
pouco na região II.

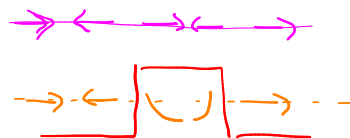
Comentário : Se $V_0 \rightarrow \infty$, então teremos
 $\kappa_2 = \frac{\sqrt{2m(V_0 - E)}}{\hbar} \rightarrow \infty$ e assim

$$\phi_{II}(x) = A_2 e^{-\kappa_2 x} \rightarrow 0 ,$$

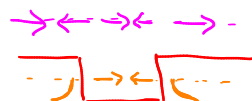
ou seja, f.d. será zero na região
II, não penetra nesse região.

3.3.3.3) Outros exemplos

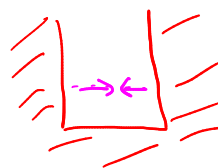
* Barreira de potencial.



* Poço de potencial.



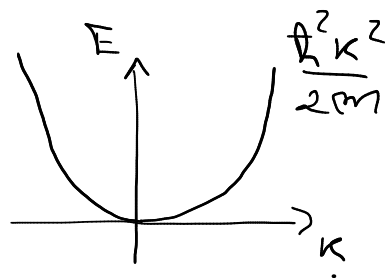
* Poço de potencial infinito.



* Potencial Delta Dirac.



Problema de espalhamento ("scattering") em que preparamos partícula de energia $E = \hbar\omega = \frac{\hbar^2 k^2}{2m}$ em $x = -\infty$ e enviamos essa partícula em direção a $x = +\infty$, medindo onda refletida e onda transmitida.



④ Capítulo 4 : Formalismo Matemático da Mecânica Quântica

Neste capítulo vamos introduzir os ferramentas matemáticas fundamentais usados no estudo (moderno) de sistemas quânticos.

Refs:

- * Cohen, cap. 2
- * Sakurai, cap. 1
- * Shankar, cap. 1

④.1 Espaço das funções de onda (de uma partícula)

$\psi(t, \vec{r})$ é amplitude de probabilidade

$\frac{|\psi(t, \vec{r})|^2}{N_\psi} \cdot d^3\vec{r} = \text{probabilidade encontrar a partícula num volume } d^3\vec{r} = dx dy dz \text{ em torno } \vec{r}, \text{ num instante } t.$

Isto implica que

$$\int_{-\infty}^{+\infty} \frac{|\psi(t, \vec{r})|^2}{N_\psi} \cdot d^3\vec{r} = 1$$

Note: Funções onda normalizáveis tem norma finita

$$N_\psi = \int |\psi(t, \vec{r})|^2 d^3\vec{r} < \infty$$

$$N_\psi = \int_{-\infty}^{+\infty} |\psi(t, \vec{r})|^2 \cdot d^3\vec{r} < \infty$$

ou seja a partícula tem que estar em algum ponto.

↳ As f. d. $\psi(t, \vec{r})$ têm que ser normalizáveis

ou seja, têm que ter norma finita,

$$\int |\psi(t, \vec{r})|^2 \cdot d^3\vec{r} = \int \psi^*(t, \vec{r}) \cdot \psi(t, \vec{r}) d^3\vec{r} < \infty$$

Somos então levados a estudar o espaço das f.o. de quadrado somável (i.e. $\int |\psi|^2 d^3\vec{r}$ é integral convergente) sobre corpo dos números complexos.

Este espaço é espaço vectorial designado de " L^2 ", e tem estrutura de um espaço de Hilbert.

Note: Espaço de Hilbert é generalização espaço Euclideo para número finito ou in finito de dimensões.

↳ espaço vectorial.

↳ produto escalar (real ou complexo).

↳ produto escalar define distâncias e ângulos.

Discutamos um pouco o que queremos dizer quando falamos em "espaço vectorial de funções de onda".

Uma f.o. é uma "máquina" que transfor-

ou um ponto do espaço 3D ou um número complexo

$$\psi(\vec{r}): \mathbb{R}^3 \rightarrow \mathbb{C}$$

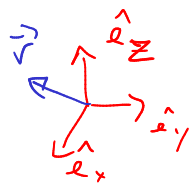
$$\vec{r} \rightarrow \psi(\vec{r})$$

Temos infinitas funções desse tipo. O conjunto (ou espaço) dessas funções/máquinas forma um espaço vectorial, por exemplo, se ψ_1 e ψ_2 pertencem a esse espaço, então $\psi_3 = a_1 \psi_1 + a_2 \psi_2$ também pertence a esse espaço.

↳ em tudo análogo ao espaço 3D ou 2D, onde se \vec{v}_1 e \vec{v}_2 são vectores nesse espaço, então $\vec{u} = a \vec{v}_1 + b \vec{v}_2$ é também vector desse espaço.

↳ A diferença é que no espaço das f.o. temos funções e não vectores (que são "máquinas" diferentes), para além de $a, b \in \mathbb{C}$ enquanto $a, b \in \mathbb{R}$.

Seja no espaço 3D ou no espaço 2D, podemos escolher uma base de vectores, $\hat{e}_x, \hat{e}_y, \hat{e}_z$, em termos dos quais expressamos unicamente cada um dos (infinitos) vectores deste espaço



$$\vec{r} = a \hat{e}_x + b \hat{e}_y + c \hat{e}_z$$

onde a, b, c são números reais, aos quais

Chamamos componentes do vector \vec{r} na base $\{\vec{e}_x, \vec{e}_y, \vec{e}_z\}$.

O mesmo acontece no espaço vectorial de funções de onda. Também nele podemos escolher um conjunto de funções de onda, em termos do qual iremos expressar unicamente cada uma das funções de onda (do espaço de todas as f.o.)

$$\psi(\vec{r}) = \alpha \phi_1(\vec{r}) + \beta \phi_2(\vec{r}) + \gamma \phi_3(\vec{r}) + \dots$$

onde os $\{\phi_1(\vec{r}), \phi_2(\vec{r}), \phi_3(\vec{r}), \dots\}$ são os "vectors" da nossa base de f.o., sendo os $\alpha, \beta, \gamma, \dots$ as componentes da f.o. $\psi(\vec{r})$ expressa nessa base.

↳ em geral números complexos

Note que podemos mudar a base em que descrevemos $\psi(\vec{r})$, o que irá mudar os componentes $\alpha, \beta, \gamma, \dots$, mas a f.o. $\psi(\vec{r})$ ficará igual. É uma analogia com o que acontece no espaço 2D ou 3D

Mas estamos interessados num sub-conjunto de funções de L^2 , que fazem sentido fisicamente:

↳ Queremos funções definidas em todo espaço, contínuas, infinitamente dife-

renunciá-los (pois experiências conseguem ver
até esferas $\sim 10^{-30}$ m não pagando por isso sen-
tido falar de descontinuidades no espaço)

↳ Queremos funções limitadas no
espaço (a partícula pode ser encon-
trada em região finita do espaço,
ex. laboratório).

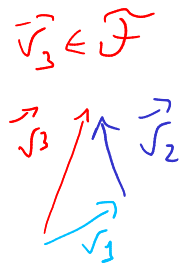
Funções "suficientemente regulares" de
 $L^2 \Rightarrow$ funções de $\tilde{\mathcal{F}}$ que é sub-es-
paço de L^2 .

$$\text{Todos} \rightarrow L^2 \rightarrow \tilde{\mathcal{F}}$$

4.1.1) Estrutura de $\tilde{\mathcal{F}}$

É possível mostrar que $\tilde{\mathcal{F}}$ tem to-
das as propriedades de espaço vetorial.

Por exemplo, se



Note: Vamos omitir os
argumentos de $\tilde{\mathcal{F}}$
mas p.s. para sim-
plificar a notação.

$$\psi_1, \psi_2 \in \tilde{\mathcal{F}} \Rightarrow \psi = \lambda_1 \psi_1 + \lambda_2 \psi_2 \in \tilde{\mathcal{F}}$$

onde λ_1, λ_2 são números complexos.

↳ Para demonstrarmos que ψ é
função de quadrado somável, i.e.

$$N_\psi = \int |\psi|^2 \cdot d\vec{x} < \infty$$

Podemos notar que

$$|\psi|^2 = |\lambda_1|^2 \cdot |\psi_1|^2 + |\lambda_2|^2 \cdot |\psi_2|^2 + \lambda_1^* \lambda_2 \psi_1^* \psi_2 + \lambda_1 \lambda_2^* \psi_1 \psi_2^*$$

Os dois últimos termos têm o mesmo módulo. Podemos escrever para cada um deles

$$|\lambda_1^* \lambda_2 \psi_1^* \psi_2| = |\lambda_1| \cdot |\lambda_2| \cdot |\psi_1| \cdot |\psi_2| \leq |\lambda_1| \cdot |\lambda_2| \frac{|\psi_1|^2 + |\psi_2|^2}{2}$$

que podemos usar na expressão de $|\psi|^2$,

$$|\psi|^2 \leq |\lambda_1|^2 \cdot |\psi_1|^2 + |\lambda_2|^2 \cdot |\psi_2|^2 + |\lambda_1| \cdot |\lambda_2| \cdot (|\psi_1|^2 + |\psi_2|^2)$$

que são todos integráveis, logo

$$\int |\psi|^2 \cdot d\vec{x} < \infty \Rightarrow \psi \in L^2$$

Por fim, como $\psi_1, \psi_2 \in \mathcal{F}$ são suaves e localizados, então é natural que $\psi = \lambda_1 \psi_1 + \lambda_2 \psi_2$ também seja suave

e localizada.

|| Logo concluimos que $\varphi \in \mathcal{F}$,
|| tal qual queriamos mostrar.